

622.235+331.452

· · , · (« »)

6 - , , .
: , , , .
- 6 , , , .
: , , , .

The change in the composition of the explosion products for rocks with various physical and mechanical properties during blasting is investigated. The size and shape of blast pulse of ammonite 6ZV in argillaceous limestone, granite, and dense chert are given.

Key words: explosion, explosion products, harmful gases, blast pulse.

· , -
-
,
· , -
·

() , ,

() [1].

[2, 3],

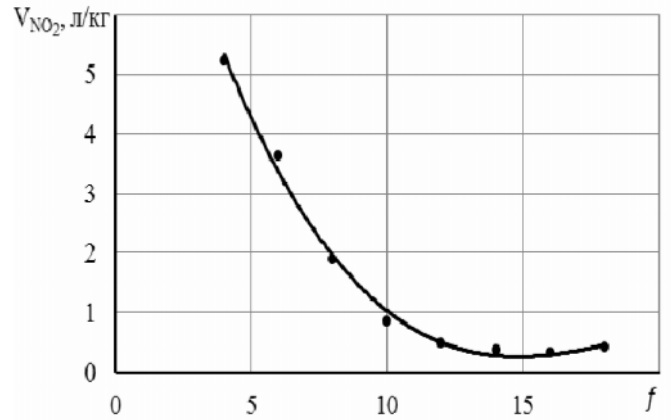
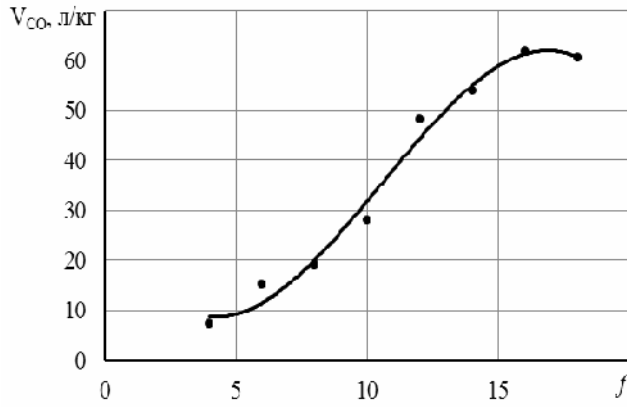
·
·
,
(
.).

-

[4]

6

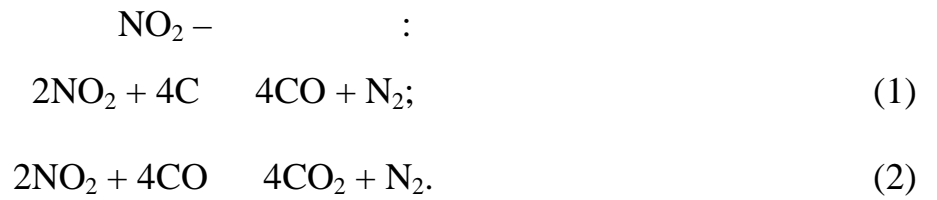
(. 1).



. 1.

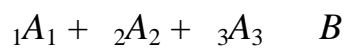
3 ; - NO₂ ;
 -)
 ,
 NO₂ . NO₂ -
 ,
 .
) . CO,

[5].



(1)-(2)

[6]



$= kC_{A1}^{v1}C_{A2}^{v2}C_{A3}^{v3},$

$C_{A3} - ; k - ; C_{A1}, C_{A2},$

$; A_1, A_2, A_3 - ; 1, 2, 3 - ; - .$

$pV = RT$

$V , RT - , N = , :$

$p/RT = .$

$p/RT,$

[7]

$$P = \frac{D^{\frac{8}{3}} L^{-\frac{2}{3}} t^{\frac{2}{3}} e^{-\left(\frac{Dt}{L}\right)^{\frac{2}{3}}}}{(n+1) \left(1 + \frac{D}{C}\right)}, \quad (3)$$

$P - ; / ^3; n - ; D -$

$, / ; C_y - ; t - .$

(3),

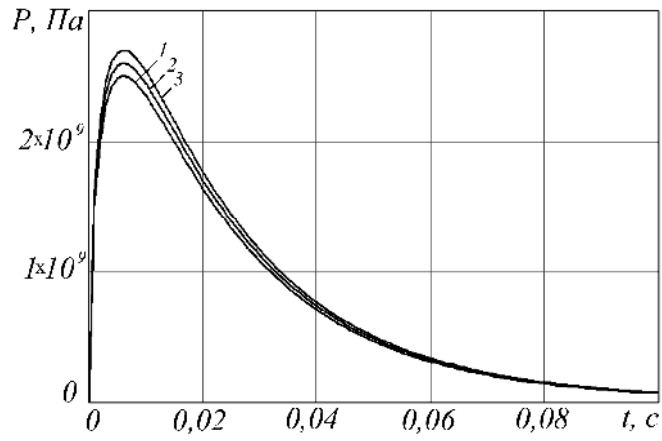
6 (= 950 / ^3, D = 3300 / , n = 2,233 [8]) 20

().

. 2.

	, / ^3	C _y , /	, / (^2.)	f
	2500	4500	11,25·10 ⁶	8
	2670	5110	13,64·10 ⁶	10
	2730	6210	16,95·10 ⁶	14

, C_y, f [9]; - , / (^2.).



2. 20 : 1 - ; 2 - ; 3 - 6

2,

$t = 6,5 \cdot 10^{-3} \text{ c}$
 $2,5 \cdot 10^9, 2,6 \cdot 10^9, 2,7 \cdot 10^9$
 $(= 11,25 \cdot 10^6 / (\text{ }^2 \cdot)), (= 13,64 \cdot 10^6 / (\text{ }^2 \cdot))$
 $(= 16,95 \cdot 10^6 / (\text{ }^2 \cdot)).$

(1-2)

NO₂

NO₂,

2.

NO₂

NO₂.

2

1. . . . / . . . , . . . , . . . , 1988. - 358 .

-
2. . . . /
. . . . , ,- , 1986.
3. . . . / . . . ,
. . . // .- 1978. - . 23. - 1. - . 114-123.
4. . . . /
. . . , . . . // .- 2010. - 18. - . 48-54.
5. . . . /- . . . ,
2009. - 743 .
6.- . . . , 1995. -
319 .
7. . . . / . . . , . . . //
« » . « » . - 2008. - 17. -
. 35-40.
8. . . . / . . . // .- 2008. - 3. - . 156-161.
9. () /
. . . , . . . ,- . . . , 1975. - 279 .
- 28.09.2011 .
. . . . ,